

九州大学工学部 正員 山崎徳也  
 宮崎大学工学部 正員 太田俊昭  
 宮崎大学工学部 学生員。津茂谷邦衛

1. 序言 接合部、特に梁と柱の不完全剛結特性に関する理論的研究は、L. A. Beaufoy, A. Moharram<sup>1)</sup>, J. E. Lotherers<sup>2)</sup>, および山崎、橋本<sup>3)</sup>等によってほぼ完成されているが、いずれも変形が微少な範囲を取り扱った弾性理論である。

したがって、接合部には一般に大きな曲げモーメントやせん断力が作用するゆえ、応力集中が生じ易く、このため荷重の増加に伴う接合部の非線形挙動は、主に接合部の構成プレートあるいはアングルの局部的な塑性流動による破壊メカニズムに左右されるものと考えられる。

本研究は、かかる観点より補正エネルギー法を用いて直交プレート接合部の弾塑性有限変形ならびに応力の解析を行い、かつ上記破壊メカニズムを自動的に決定しうるプログラムを開発し、もってこの種の接合部を持つ骨組構造物の塑性解析に有用な資料を提供せんとするものである。

2. 理論 図-1に示すようなプレート接合部を解析するに当つて次の仮定を設ける。

1) 接合部は左右対称とする。

2) 柱および梁は剛体と考え、その弾性変形を無視する。

3) 接合部には曲げモーメント  $\alpha P$  と、垂直反力  $\gamma$  が作用するものと考える。

4) 外力を設けて接合部が変形する結果、梁端部の上縁

(a) 下縁) が上部プレート (b) 下部プレート) に接触し、

垂直方向の接触反力  $\gamma$  を生ずる。

いま、与荷重によって接合部が図-2のごとく変形したと仮定すれば、次の平衡方程式が成立する (図-2参照)。

$$\left. \begin{aligned} \alpha P &= M_u + M_e + \frac{1}{2}(Z_u - Z_e)h \cos\theta + \frac{1}{2}(Y_u - Y_e)h \sin\theta \\ &\quad + \nabla_u(b \cos\theta - \frac{1}{2}h \sin\theta) + \nabla_e(b \cos\theta + \frac{1}{2}h \sin\theta) \\ P &= Y_u + Y_e + \nabla_u + \nabla_e \\ 0 &= Z_u + Z_e \end{aligned} \right\} (1)$$

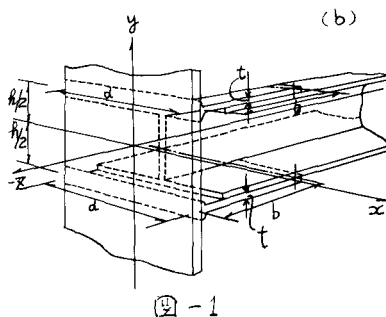
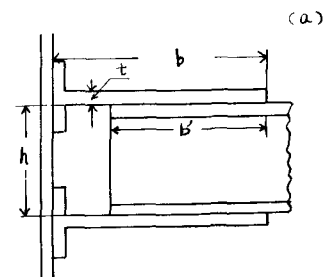
ただし、添字  $u, e$  はそれぞれ上部、下部プレートを表わす。

$Y, Z$ : 固定座標軸出入口方向の  $y$ ,  $z$ : 梁端部のプレートの垂直変位

$M$ :  $x$  軸のまわりのモーメント

又プレートと梁の結合点の垂直、水平変位および回転角をそれぞれ、 $\Delta^y, \Delta^z$  および  $\theta$  とすれば

$$\left. \begin{aligned} \Delta_u^y - \Delta_e^y + (\mu_u Z_u^0 - \mu_e Z_e^0) \sin\theta &= (h+2t)(1-\cos\theta) \\ \Delta_u^z - \Delta_e^z + (\mu_u Z_u^0 - \mu_e Z_e^0) \cos\theta &= (h+2t) \sin\theta \\ \theta_u = \theta_e = \theta \end{aligned} \right\} (2)$$



ここに、式(2)の左辺の第3項は、プレートと梁の間のせん断力によるずれを表わし、 $\mu$ は一種の摩擦係数である。また、 $Y^o, Z^o$ は変形後の梁の軸方向に沿って定められた座標( $\theta, \varphi$ )に関する力であり、次式で与えられる。

$$\begin{aligned} Y^o &= -Z \sin \theta + Y \cos \theta \\ Z^o &= Z \cos \theta + Y \sin \theta \end{aligned} \quad \left. \right\} \quad \text{--- (3)}$$

一方、式(2)の $\Delta_i^s, \Delta_i^z$ および $\theta_i$ ( $i=u, l$ )は、補正エネルギー法によって下記のように求められる。

すなわち、プレートの任意点Kのモーメント $M_K$ 、および歟力 $N_K$ は(図-3参照)

$$\begin{aligned} M_K &= -M_i - \gamma_i x + z_i (\Delta_i^s - \delta_i^s) - \gamma_i (x - b) \\ N_K &= Z_i \end{aligned} \quad \left. \right\} \quad \text{--- (4)}$$

ただし、 $\delta_i^s$ : 任意点Kの $s$ 方向のたわみ

よって、プレートに生ずる補正エネルギー $C_i$ は

$$C_i = \int_0^b ds \int \phi_i dM_{ki} + \int_0^b ds \int \varepsilon_i dN_{ki} \quad \text{--- (5)}$$

ここで曲率半径を弾性曲率半径 $R_i^e (= M_i/EI)$ と塑性曲率半径 $R_i^p$ とに分けて考えれば

$$C_i = \int_0^b ds \left( \int \phi_i^e dM_{ki} + \int d\phi_i^p dM_{ki} \right) + \int_0^b ds \int \varepsilon_i dN_{ki} \quad \text{--- (6)}$$

ただし、 $\varepsilon_i = N_i/EA$ , E:ヤング率, A:断面積, I:断面二次モーメント

式(6)に変分原理を適用すれば、 $\Delta_i^s, \Delta_i^z, \theta_i$ および

$\delta_i^s$ が次のように求められる。

$$\Delta_i^s = \frac{\partial C_i}{\partial \gamma_i}, \quad \Delta_i^z = \frac{\partial C_i}{\partial Z_i}, \quad \theta_i - R_i = \frac{\partial C_i}{\partial M_i}, \quad \delta_i^s = \frac{\partial C_i}{\partial \gamma_i} - \theta_i \quad \text{--- (7)}$$

ただし、 $R_i$ はプレートのたわみによって生ずる相対部材角を表わす。

式(7)に式(6)を代入すれば、それを

$$\left. \begin{aligned} \Delta_i^s &= \int_0^b \phi_i^e \frac{\partial M_{ki}}{\partial \gamma_i} ds + \int_0^b \phi_i^p \frac{\partial M_{ki}}{\partial Z_i} ds + \int_0^b \varepsilon_i \frac{\partial N_{ki}}{\partial \gamma_i} ds \\ \Delta_i^z &= \int_0^b \phi_i^e \frac{\partial M_{ki}}{\partial Z_i} ds + \int_0^b \phi_i^p \frac{\partial M_{ki}}{\partial M_i} ds + \int_0^b \varepsilon_i \frac{\partial N_{ki}}{\partial Z_i} ds \\ \theta_i - R_i &= \int_0^b \phi_i^e \frac{\partial M_{ki}}{\partial M_i} ds + \int_0^b \phi_i^p \frac{\partial M_{ki}}{\partial M_i} ds + \int_0^b \varepsilon_i \frac{\partial N_{ki}}{\partial M_i} ds \\ \delta_i^s &= \int_0^b \phi_i^e \frac{\partial M_{ki}}{\partial \gamma_i} ds + \int_0^b \phi_i^p \frac{\partial M_{ki}}{\partial \gamma_i} ds + \int_0^b \varepsilon_i \frac{\partial N_{ki}}{\partial \gamma_i} ds \end{aligned} \right\} \quad \text{--- (8)}$$

ただし、 $R_i = \Delta_i^s/b$

したるに式(4)より

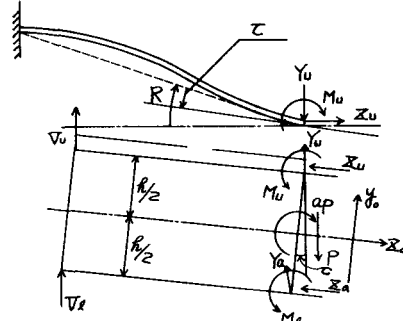


図-2

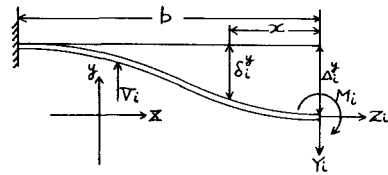


図-3

$$\left. \begin{aligned} \frac{\partial M_{ki}}{\partial Y_i} &= -x, \quad \frac{\partial N_{ki}}{\partial Y_i} = 0, \quad \frac{\partial M_{ki}}{\partial M_i} = -1, \quad \frac{\partial N_{ki}}{\partial M_i} = 0 \\ \frac{\partial M_{ki}}{\partial Z_i} &= (\Delta_k^* - \delta_i^*), \quad \frac{\partial N_{ki}}{\partial Z_i} = 1, \quad \frac{\partial M_{ki}}{\partial V_i} = -(x-b), \quad \frac{\partial N_{ki}}{\partial V_i} = 0 \end{aligned} \right\} \quad \text{--- (9)}$$

であるから、式(9)、(8)より結局次式をうる。

$$\left. \begin{aligned} \Delta_u^* &= - \left[ \int_0^b x \phi_u^p ds + \int_0^b x \phi_e^p ds \right] \\ \Delta_e^* &= - \left[ \int_0^b (\delta_e^* - \Delta_e^*) \phi_u^p ds + \int_0^b (\delta_e^* - \Delta_e^*) \phi_e^p ds \right] + \int_0^b \varepsilon_e ds \\ \theta_e - R_e &= - \int_0^b \phi_u^p ds - \int_0^b \phi_e^p ds \\ \delta_e^* &= - \int_0^b \phi_u^p (x-b) ds - \int_0^b \phi_e^p (x-b) ds \end{aligned} \right\} \quad \text{--- (10)}$$

式(10)の  $\phi_u^p (= M_u^e / EI)$  や  $\phi_e^p (= M_e^e / EA)$  に式(4)を代入の上整理すれば

$$\left. \begin{aligned} \Delta_u^* / b &= W (a_{1u} \bar{M}_u + b_{1u} \bar{Y}_u T_0 + c_{1u} \bar{Z}_u T_0 - d_{1u}) \\ \Delta_e^* / b &= W (a_{2u} \bar{M}_u + b_{2u} \bar{Y}_u T_0 + c_{2u} \bar{Z}_u T_0 - d_{2u}) \\ \theta_e - R_e &= W (a_{3u} \bar{M}_u + b_{3u} \bar{Y}_u T_0 + c_{3u} \bar{Z}_u T_0 - d_{3u}) \\ \Delta_e^* / b &= W (a_{1e} \bar{M}_e + b_{1e} \bar{Y}_e T_0 + c_{1e} \bar{Z}_e T_0 - d_{1e}) \\ \Delta_e^* / b &= W (a_{2e} \bar{M}_e + b_{2e} \bar{Y}_e T_0 + c_{2e} \bar{Z}_e T_0 - d_{2e}) \\ \theta_e - R_e &= W (a_{3e} \bar{M}_e + b_{3e} \bar{Y}_e T_0 + c_{3e} \bar{Z}_e T_0 - d_{3e}) \\ \delta_e^* / b &= W (a_{4u} \bar{M}_u + b_{4u} \bar{Y}_u T_0 + c_{4u} \bar{Z}_u T_0 - d_{4u}) \\ \delta_e^* / b &= W (a_{4e} \bar{M}_e + b_{4e} \bar{Y}_e T_0 + c_{4e} \bar{Z}_e T_0 - d_{4e}) \end{aligned} \right\} \quad \text{--- (11)}$$

ただし、 $M_u = M_i / M_y$ ,  $\bar{Y}_i = Y_i / N_y$ ,  $\bar{Z}_i = Z_i / N_y$ ,  $\bar{V}_i = V_i / N_y$ ,  $T_0 = N_y b / M_y$   
 $N_y = G_y b t$ ,  $G_y$ : 降伏応力,  $W = M_y b / EI$ ,  $M_y = G_y b t^3 / 12$

ここで

$$\left. \begin{aligned} a_{1u} &= a_{1e} = 1/2, \quad b_{1u} = b_{1e} = 1/3, \quad a_{2u} = a_{2e} = 1, \quad b_{2u} = b_{2e} = 1/2, \quad c_{1u} = c_{1e} = (1-b)^3/3 \\ a_{3u} &= a_{3e} = (1-b)^2/2, \quad b_{3u} = b_{3e} = (2-3b+b^3)/b \\ c_{1u} &= \int_0^1 \bar{x} (\delta_u^* - \Delta_u^*) dx, \quad d_{1u} = \int_0^1 \bar{x} \phi_u^p d\bar{x}, \quad a_{2u} = \int_0^1 (\delta_e^* - \Delta_u^*) dx, \quad b_{2u} = \int_0^1 \bar{x} (\delta_e^* - \Delta_u^*) d\bar{x} \\ c_{2u} &= \int_0^1 \bar{x} (\delta_e^* - \Delta_e^*) dx, \quad d_{2u} = \int_0^1 \bar{x} \phi_e^p d\bar{x}, \quad a_{3u} = \int_0^1 (\delta_e^* - \Delta_e^*) dx, \quad b_{3u} = \int_0^1 \bar{x} (\delta_e^* - \Delta_e^*) d\bar{x} \\ d_{2u} &= 1/W \int_0^1 \varepsilon_u^p d\bar{x}, \quad c_{4u} = \int_0^1 (\delta_u^* - \Delta_u^*)^2 dx, \quad c_{3u} = \int_0^1 \bar{Y}_u d\bar{x}, \quad d_{3u} = \int_0^1 \bar{Y}_u d\bar{x}, \quad c_{4u} = \int_0^1 (\bar{x}-b) \varepsilon_u^p d\bar{x} \\ d_{3e} &= 1/W \int_0^1 \varepsilon_e^p d\bar{x}, \quad c_{4e} = \int_0^1 (\delta_e^* - \Delta_e^*)^2 dx, \quad c_{3e} = \int_0^1 \bar{Y}_e d\bar{x}, \quad d_{3e} = \int_0^1 \bar{Y}_e d\bar{x}, \quad c_{4e} = \int_0^1 (\bar{x}-b) \varepsilon_e^p d\bar{x} \\ d_{4u} &= \int_0^1 (\bar{x}-b) \phi_u^p d\bar{x} \quad \theta^p = \phi^p / G_y, \quad M_y = M_y / EI \quad b' = b / b \quad \bar{G}_y = G_y / E \\ d_{4e} &= \int_0^1 (\bar{x}-b) \phi_e^p d\bar{x} \end{aligned} \right\} \quad \text{--- (12)}$$

よって、式(2)に式(11)を代入し、式(3)の変換を考慮した上で整理すれば次のようになる。

$$\left. \begin{aligned} a_{1u} \bar{M}_u - a_{1e} \bar{M}_e + (b_{1u} + M_y \sin^2 \theta) \bar{Y}_u - (b_{1e} + M_y \sin^2 \theta) \bar{Y}_e + (c_{1u} + M_y \sin \theta \cos \theta) \bar{Z}_u \\ (c_{1e} + M_y \sin \theta \cos \theta) \bar{Z}_e = 1/W \cdot (T_0 + 2T_0 \chi - 1 - \cos \theta) + d_{1u} - d_{1e} \\ a_{2u} \bar{M}_u - a_{2e} \bar{M}_e + (b_{2u} + M_y \sin \theta \cos \theta) \bar{Y}_u - (b_{2e} + M_y \sin \theta \cos \theta) \bar{Y}_e + (c_{2u} + M_y \cos^2 \theta) \bar{Z}_u \\ - (c_{2e} + M_y \cos^2 \theta) \bar{Z}_e = 1/W \cdot (T_0 + 2T_0 \chi \sin \theta) + d_{2u} - d_{2e} \\ a_{3u} \bar{M}_u + b_{3u} \bar{Y}_u + c_{3u} \bar{Z}_u = 1/W \cdot \theta + d_{3u} - R_u/W \\ a_{3e} \bar{M}_e + b_{3e} \bar{Y}_e + c_{3e} \bar{Z}_e = 1/W \cdot \theta + d_{3e} - R_e/W \end{aligned} \right\} \quad \text{--- (13)}$$

一方、接触反力  $\nabla_i$  は、接触点における変形の適合条件より次のように求められる（図-2参照）。

$$\begin{aligned} \delta_{ci}^t + b' \sin \theta &= \Delta_i^t \\ \delta_{ci}^t + b' \sin \theta &= \Delta_i^t \end{aligned} \quad \left\{ \dots \right. \quad (14)$$

式(12), (14)より  $\nabla_i$  が次式で与えられる。

$$\begin{aligned} \nabla_u &= \frac{1}{P_0 e_{ul} W} \left\{ \frac{1}{L} (\Delta_i^t - b' \sin \theta) + d_{fu} - C_{fu} Y_u J_0 - C_{zu} Z_u J_0 \right\} \\ \nabla_e &= \frac{1}{P_0 e_e} \left\{ \frac{1}{L} (\Delta_i^t - b' \sin \theta) + d_{fe} - C_{fe} Y_e J_0 - C_{ze} Z_e J_0 \right\} \end{aligned} \quad \left\{ \dots \right. \quad (15)$$

ただし

$$Y_u = 0, \text{ (if } \delta_{ci}^t + b' \sin \theta < \Delta_i^t \text{)}$$

$$Y_e = 0, \text{ (if } \delta_{ci}^t + b' \sin \theta > \Delta_i^t \text{)}$$

以上より、式(1), (13)の 7 つの方程式より、 $M_u, M_e, Y_u$ ,  $Y_e, Z_u, Z_e$  および角度  $\theta$  が求められ、これらの諸値を式(5)に代入して、 $\nabla_u$  もしくは  $\nabla_e$  が算出され、そのフローチャートを示せば図-4 のようになる。なお本計算過程中に必要な鉛直たわみ  $\delta$  は、いずれもプレートの文献(4)の方法によって算出するものとする。

### 3. 結語

本論文では接合部の破壊メカニズムが主にプレートの曲げ破壊によって生ずるものとし、曲げモーメント  $A P$  と垂直反力  $P$  によってプレートならばに梁が変形する結果、接触反力を新たに発生し、これらの諸力が合成されてプレートの曲げ破壊を生ずると仮定したが、より厳密には溶接部ならびにリベットの破壊、さらには梁および柱の局部的塑性変形を考慮する必要があり、今後の研究課題として残されるものである。なお、本研究を行うに当つて九州大学の橋木助教授に貴重な資料を提供していただき、ここに謝意を表す。

### [参考文献]

- 1) L.A. Beaufoy & A. Moharram: Derived Moment-Angle Curves for Web-Cleat Connections, Preliminary Publication, International Association for Bridge and Structural Engineering, 3rd Congress, Sept 1948
- 2) J. E. Lotness: Advanced Design in Structural Steel, Prentice-Hall, Inc., 1960
- 3) 山崎, 橋木: 曲げモーメントを伝える直交アングル接合部の不完全剛結特性の解法. 土木学会論文集(30号), 昭和41年6月
- 4) 太田: 有限変形理論による軸力の影響を考慮したのはりの弾塑性解析, 第24回年次学術講演会講演集, 第1部, 昭和44年9月

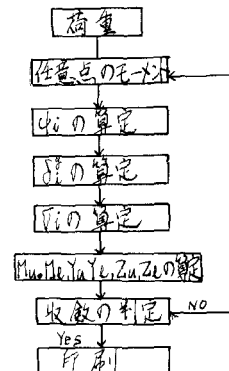


図-4